

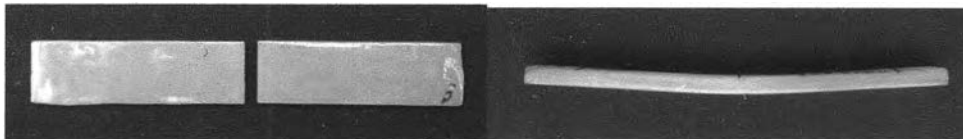
บทที่ 4 ผลการศึกษา



ตอนที่ 1

ก. ผลการทดสอบกำลังดัดขวาง

จากการศึกษา พบว่าชิ้นงาน Meliodent[®] มีการแตกหักหลังทำการทดสอบกำลังดัดขวาง ส่วนชิ้นงาน Vitaflex[®] ทำการ Load หักพบว่าวัสดุอ่อนลงมาเรื่อยๆจนวัสดุชนกับฐานข้างล่าง แล้วดึงออกจากคานแต่วัสดุไม่แตกหัก (รูปที่ 29) ดังนั้นไม่สามารถคำนวณค่ากำลังดัดขวางของ Vitaflex[®] ได้แต่สามารถคำนวณค่ามอดุลัสการโค้งงอ และบันทึกค่าแรงกด (นิวตัน) ณ ตำแหน่งที่ วัสดุอ่อนจากระนาบปกติลงมาที่ความลึก 5 มิลลิเมตร ณ จุดกึ่งกลางของชิ้นตัวอย่าง ทำการเปรียบเทียบค่ากำลังดัดขวาง ค่ามอดุลัสการโค้งงอ ของวัสดุทั้งสองชนิดได้ดังตารางที่ 6 ส่วน ตารางที่ 7 แสดงการเปรียบเทียบแรงที่ตำแหน่งที่มีการอ่อนจากระนาบปกติ 5 มิลลิเมตรของวัสดุ ทั้งสอง



ก

ข

รูปที่ 29 ก. แสดงชิ้นงาน Meliodent[®] ที่แตกตรงกึ่งกลางชิ้นงาน

ข. แสดงชิ้นงาน Vitaflex[®] โค้งงอแต่ไม่หักหลังสิ้นสุดการทดสอบ

ตารางที่ 6 แสดงการเปรียบเทียบค่ากำลังดัดขวาง และ ค่ามอดุลัสการโค้งงอของไนลอน (Vitaflex[®]) กับ เรซินอะคริลิกชนิดบ่มตัวด้วยความร้อน (Meliodent[®])

ชั้นที่	Flexural strength (MPa)		Flexural modulus (MPa)	
	Vitaflex [®]	Meliodent [®]	Vitaflex [®]	Meliodent [®]
1	ไม่สามารถหาค่าได้	61.72	412.85	1856.13
2	ไม่สามารถหาค่าได้	65.06	508.44	2009.71
3	ไม่สามารถหาค่าได้	64.12	527.06	1962.16
4	ไม่สามารถหาค่าได้	62.15	486.31	2145.41
5	ไม่สามารถหาค่าได้	59.82	448.75	2149.07
Mean \pm SD	ไม่สามารถหาค่าได้	62.57 \pm 2.07	476.68 \pm 46.08	2024.50 \pm 125.09

ตารางที่ 7 แสดงการเปรียบเทียบแรงที่ตำแหน่งที่มีการแอ่นจากระนาบปกติ 5 มิลลิเมตรของทั้งสองวัสดุ

ชั้นที่	Force required to 5 mm. deflection (N)	
	Vitaflex [®]	Meliodent [®]
1	14.27	45.62
2	13.96	47.61
3	13.89	49.06
4	16.63	48.68
5	14.27	48.60
Mean \pm SD	14.60 \pm 1.15	47.91 \pm 1.39

เมื่อพิจารณาตารางที่ 6 พบว่าค่า Flexural modulus ของ Vitaflex[®] น้อยกว่า Meliodent[®] อย่างมีนัยสำคัญที่ $p < 0.05$ แสดงถึง Meliodent[®] มีความแข็งทื่อ (stiffness) มากกว่า Vitaflex[®] และเมื่อพิจารณาตารางที่ 7 พบว่าที่ตำแหน่งที่วัสดุอ่อนลงมา 5 มิลลิเมตร Vitaflex[®] ใช้แรงเพียง 14.60 ± 1.15 นิวตัน สามารถทำให้วัสดุเกิดการเปลี่ยนแปลงรูปร่างซึ่งแตกต่างจาก Meliodent[®] ที่ใช้แรงถึง 3.28 เท่า (47.91 ± 1.39 นิวตัน) แสดงให้เห็นว่า Vitaflex[®] มีการเปลี่ยนแปลงรูปร่าง (deformation) ได้ง่ายกว่า Meliodent[®] ที่มีความแข็ง (rigid) มากกว่า รวมถึงพบว่าเมื่อสิ้นสุดการทดลองกำลังดัดขวางพบว่า Vitaflex[®] ไม่เกิดการแตกหักเหมือน Meliodent[®] เพียงแต่เกิดการโค้งงอของชิ้นงาน

ข. ผลการทดสอบความต้านทานแรงดึง

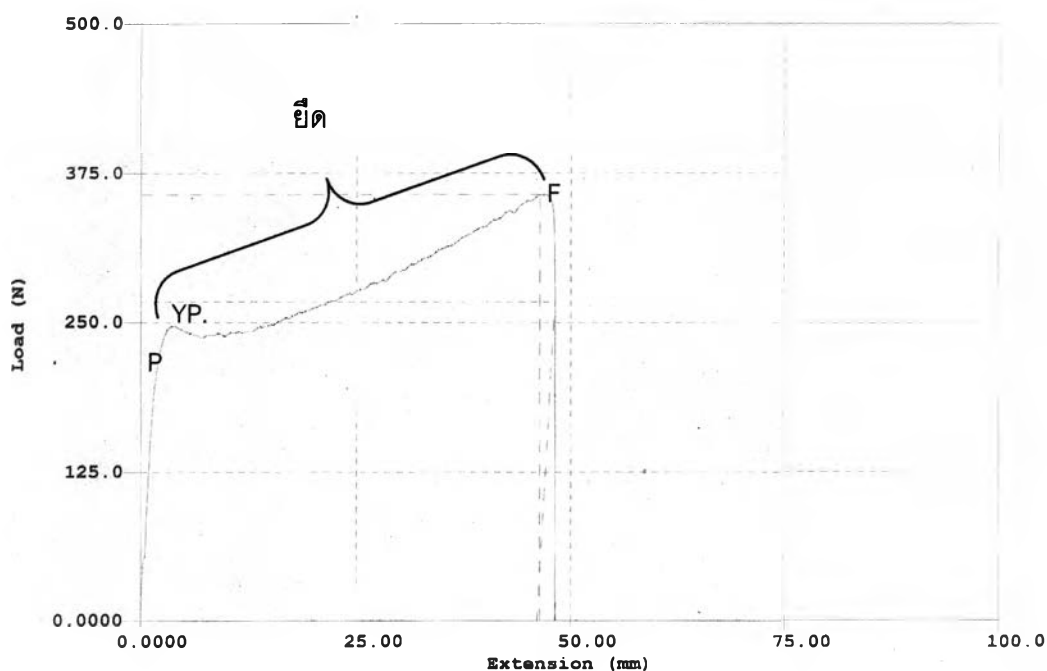
จากการวิเคราะห์ข้อมูล พบว่ากลุ่มทดสอบของ Meliodent[®] และ Vitaflex[®] มีค่าเปอร์เซ็นต์การยืด ณ ตำแหน่งที่ขาด ค่าความต้านทานแรงดึง และ ค่าเบี่ยงเบนมาตรฐาน (SD) ดังแสดงในตารางที่ 8

ตารางที่ 8 แสดงการเปรียบเทียบค่าเปอร์เซ็นต์การยืด ณ ตำแหน่งที่ขาด และ ค่าความต้านทานแรงดึงของทั้งสองวัสดุ

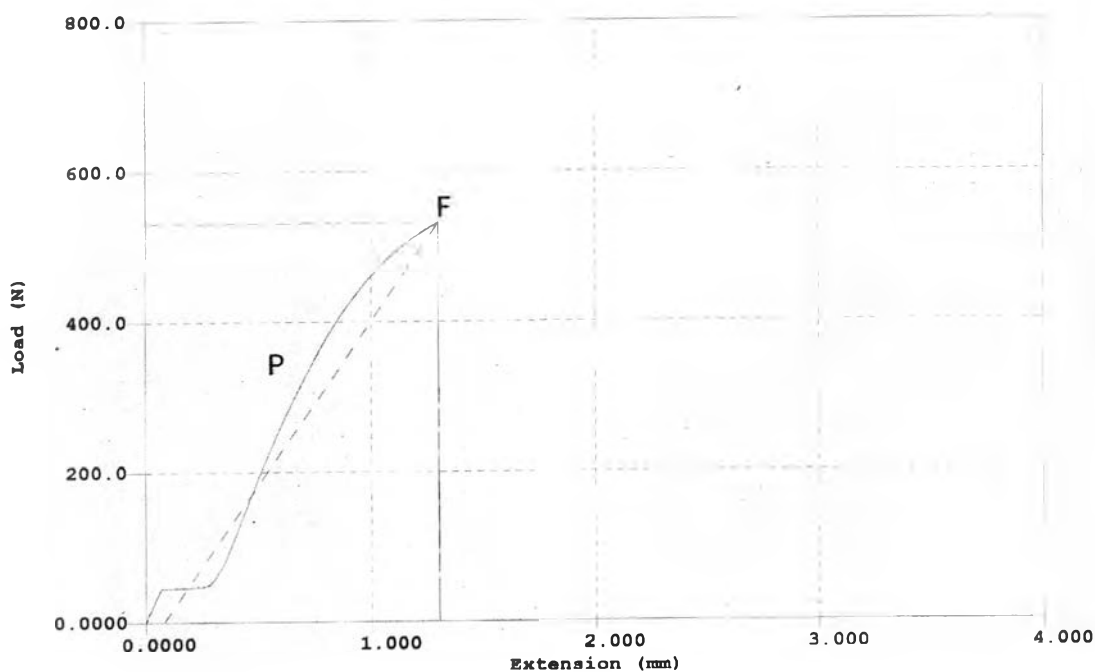
ชั้นที่	Percentage Elongation at break		Tensile strength (MPa)	
	Vitaflex [®]	Meliodent [®]	Vitaflex [®]	Meliodent [®]
1	307.30	0.54	38.47	64.33
2	239.80	3.04	34.55	44.08
3	237.70	3.01	38.86	51.54
4	257.00	3.18	41.06	39.06
5	299.60	6.09	37.89	54.22
Mean \pm SD	268.28 ± 33.08	3.17 ± 1.97	38.17 ± 2.35	50.65 ± 9.72

เมื่อพิจารณาตารางที่ 8 พบว่าความต้านทานแรงดึงของ Meliodent[®] มีค่ามากกว่า Vitaflex[®] อย่างมีนัยสำคัญที่ $p < 0.05$ แสดงให้เห็นว่า Meliodent[®] มีความแข็งแรงในการต้านทานการเปลี่ยนแปลงรูปร่างมากกว่า Vitaflex[®] แต่ Meliodent[®] มีความเปราะมากดูได้จากค่าเปอร์เซ็นต์การยืดตัว ณ ตำแหน่งที่ขาดมีค่าน้อยกว่า Vitaflex[®] อย่างมีนัยสำคัญที่ $p < 0.05$

เมื่อพิจารณารูปที่ 30 จะเห็นว่าชิ้นงาน Vitaflex[®] เมื่อค่อยๆดึงพบว่าชิ้นตัวอย่างมีการยืดในอัตราคงที่กับแรง จนกระทั่งถึงจุดๆหนึ่ง (จุด P) คือขีดยืดปฏิกิริยาเป็นจุดสุดท้ายที่อัตราการยืดจะคงที่กับแรง หลังจากนั้นอัตราการยืดจะเร็วกว่าแรง เมื่อใช้แรงดึงต่อไปอีกเล็กน้อยคือขีดยืดหยุนซึ่งจะอยู่เหนือขีดยืดปฏิกิริยา พบว่าชิ้นงานจะยืดเล็กน้อยแต่ถ้าเอาแรงออก ชิ้นงานสามารถหดกลับให้มีความยาวเท่าเดิมได้ ขีดยืดหยุนเป็นจุดสุดท้ายที่วัสดุรับน้ำหนักได้โดยมีการยืดหดตัวไม่ถาวร เมื่อเลยขีดนี้วัสดุจะมีการยืดหดตัวที่ถาวร ส่วน จุด YP คือ จุดคราก (Yield Point) จุดที่แรงทำให้เกิดการยืดตัวเพิ่มขึ้นแต่ไม่ได้เพิ่มแรง และเมื่อเพิ่มแรงไปเรื่อยๆเหนือจุดครากจนถึงจุด F จะเกิดการขาดของชิ้นงาน ในขณะที่รูปที่ 31 กราฟของ Meliodent[®] จะไม่มีจุดคราก แสดงถึงวัสดุมีการแตกหักเลยจึงได้เปอร์เซ็นต์การยืด ณ ตำแหน่งที่ขาดมีค่าต่ำมาก

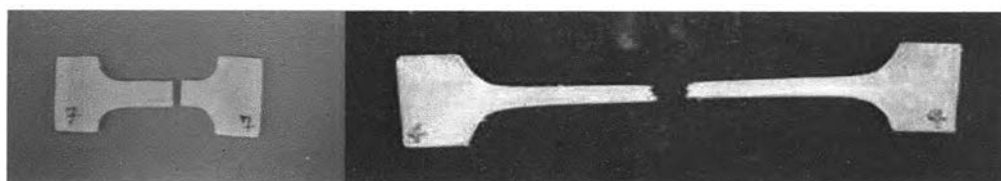


รูปที่ 30 กราฟแสดงแรงดึงกับการยืดตัวของ Vitaflex[®]



รูปที่ 31 กราฟแสดงแรงดึงกับการยืดตัวของ Meliodent[®]

หลังการทดสอบความต้านทานแรงดึงพบว่า Meliodent[®] มีการแตกหักตรงๆ แสดงว่าวัสดุมีความเปราะมากกว่า Vitaflex[®] ที่มีการยืดยาวของชิ้นงานและบริเวณรอยขาดตรงปลายเป็นกรวยที่ยืดเป็นมุมแหลมและมีสีขาวเนื่องจากมีความเค้นบริเวณที่ฉีกขาดสูง (รูปที่ 32) สรุปได้ว่า Vitaflex[®] มีความเหนียวมากกว่า Meliodent[®]



ก.

ข.

รูปที่ 32 ก. แสดงการยืดจนขาดของ Meliodent[®] หลังผ่านการทดสอบความต้านทานแรงดึง

ข. แสดงการยืดจนขาดของ Vitaflex[®] หลังผ่านการทดสอบความต้านทานแรงดึง

ตอนที่ 2

ก. ผลการทดสอบการเปลี่ยนสี

จากการวิเคราะห์ข้อมูล พบว่ากลุ่มทดสอบของ Rodex[®] และ Vitaflex[®] มีค่าเฉลี่ยของการเปลี่ยนสี (ΔE) และ ค่าเบี่ยงเบนมาตรฐาน (SD) ดังแสดงในตารางที่ 9 และ 10 ตามลำดับ

ตารางที่ 9 แสดงค่า ΔE ของ Vitaflex[®] เมื่อแช่ในสารละลายสีต่างๆในระยะเวลาที่ต่างกัน

สารละลายสี ระยะเวลา	น้ำกลั่น	สีน้ำเงิน	สีแดง	สีเหลือง	ชา	กาแฟ
1 อาทิตย์	1.45±0.28	1.41±0.39	1.29±0.43	1.57±0.52	1.53±0.29	2.87±0.47
2 อาทิตย์	1.77±0.26	2.05±0.51	1.65±0.33	1.99±0.61	2.27±0.28	4.84±0.80
1 เดือน	2.11±0.27	2.10±0.66	1.93±0.32	2.45±0.71	2.78±0.25	5.50±0.72
2 เดือน	2.15±0.37	2.09±0.53	2.26±0.39	2.46±0.40	2.72±0.30	5.62±0.72
3 เดือน	2.16±0.38	1.89±0.54	2.3±0.41	2.46±0.37	2.80±0.40	5.67±0.67
6 เดือน	2.54±0.34	2.52±0.74	2.58±0.42	3.07±0.4	3.13±0.42	5.67±0.62

ตารางที่ 10 แสดงค่า ΔE ของ Rodex[®] เมื่อแช่ในสารละลายสีต่างๆในระยะเวลาที่ต่างกัน

สารละลายสี ระยะเวลา	น้ำกลั่น	สีน้ำเงิน	สีแดง	สีเหลือง	ชา	กาแฟ
1 อาทิตย์	1.57±0.73	1.09±0.30	1.25±0.58	1.47±0.53	1.63±0.44	1.17±0.24
2 อาทิตย์	1.72±0.43	1.41±0.32	1.50±0.53	1.97±0.44	1.99±0.36	1.58±0.19
1 เดือน	2.02±0.32	1.91±0.25	2.03±0.40	2.32±0.62	2.31±0.20	1.93±0.19
2 เดือน	2.14±0.35	2.14±0.32	2.22±0.45	2.64±0.51	2.48±0.24	2.26±0.18
3 เดือน	2.20±0.38	2.05±0.33	2.22±0.41	2.55±0.37	2.55±0.23	2.30±0.30
6 เดือน	2.30±0.23	2.11±0.40	2.20±0.33	2.57±0.31	2.69±0.30	2.31±0.35

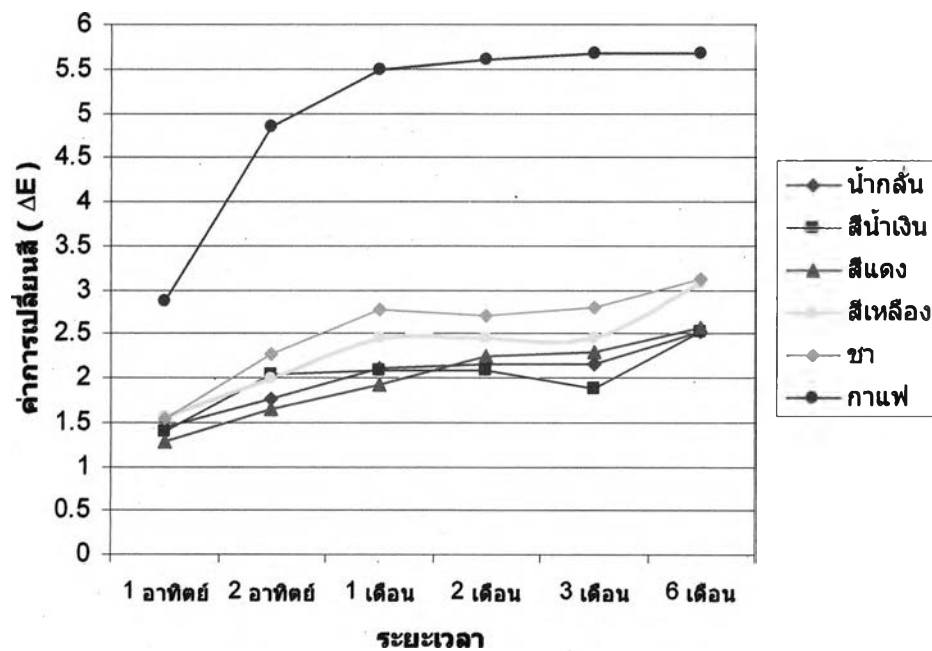
สำหรับ Vitaflex[®] เมื่อพิจารณาจากตารางที่ 9 และ รูปที่ 33 พบว่าขึ้นตัวอย่างที่แช่ในกาแฟให้ผลการติดสีมากที่สุดเมื่อเทียบกับทุกกลุ่ม ในทุกช่วงเวลาและสีจะเข้มขึ้นเมื่อแช่นานขึ้น

อย่างมีนัยสำคัญ ส่วนกลุ่มที่แช่ในชาจะให้ผลการติดสีมารองลงมา ทั้งนี้การติดสีของกลุ่มนี้จะเพิ่มขึ้นอย่างมีนัยสำคัญตั้งแต่สัปดาห์ที่ 2 จนจบการศึกษา นอกจากนี้พบว่าทุกกลุ่มของ Vitaflex[®] ที่แช่สารละลายสีต่างๆจะติดสีมากขึ้นเมื่อเวลาผ่านไปนานขึ้น ซึ่งขึ้นตัวอย่างจะติดสีเหลืองมากขึ้นรองจากกาแฟและชา อย่างมีนัยสำคัญตั้งแต่เดือนที่ 1 จนจบการศึกษา ส่วนกลุ่มตัวอย่างที่แช่ในสีแดงจะติดสีเพิ่มขึ้นอย่างมีนัยสำคัญตั้งแต่เดือนที่ 1 จนจบการศึกษา โดยกลุ่มสีแดงติดสีรองจากกลุ่มสีเหลือง สำหรับกลุ่มตัวอย่างที่แช่ในน้ำกลั่นมีการเปลี่ยนสีอย่างมีนัยสำคัญตั้งแต่เดือนที่ 1 จนถึงสิ้นสุดการศึกษา ซึ่งค่าการเปลี่ยนสี รองลงมาจากสีแดง และสุดท้ายเมื่อสิ้นสุดผลการศึกษาพบว่าสีน้ำเงินมีการติดสีน้อยที่สุดเมื่อเทียบกับทุกกลุ่ม ซึ่งการติดสีที่เพิ่มขึ้นของสีน้ำเงินมีความแตกต่างอย่างมีนัยสำคัญในเดือนที่ 6 กับตอนเริ่มต้น

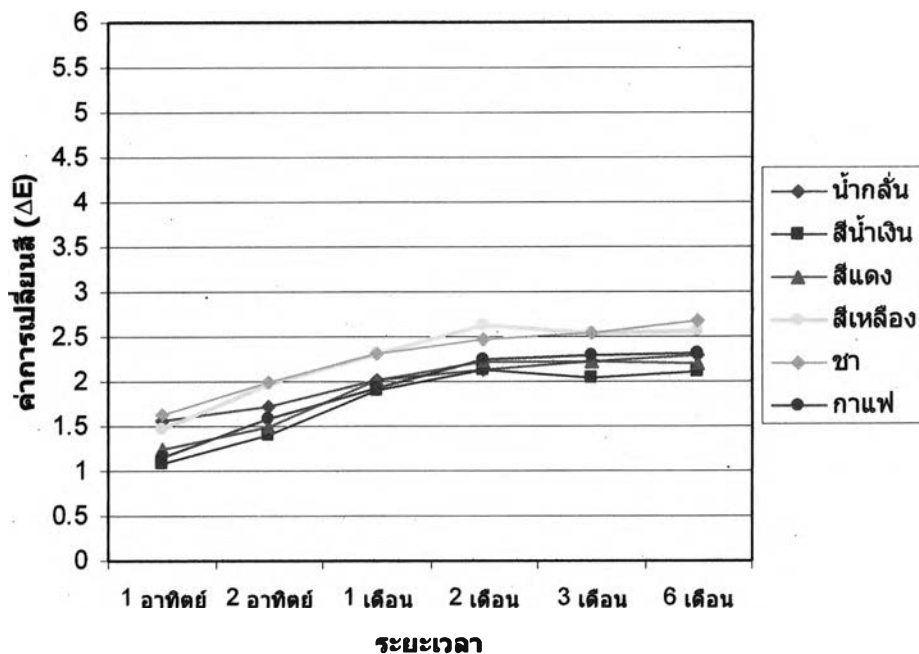
เมื่อพิจารณากลุ่ม Rodex[®] จากตารางที่ 10 และรูปที่ 34 พบว่า ชา และสีเหลืองมีการติดสีใกล้เคียงกันในช่วง 3 เดือนแรกแต่เมื่อสิ้นสุดการศึกษาพบว่าชาติดสีมากกว่าสีเหลือง แต่ไม่มีความแตกต่างในการติดสีระหว่างชาและสีเหลือง รองลงมาคือ กาแฟ สีแดง น้ำกลั่น ตามลำดับ และสารละลายที่ติดสีน้อยที่สุด คือ สีน้ำเงิน โดยกลุ่มที่แช่ในชาจะติดสีมากขึ้นเมื่อเวลาผ่านไปนานขึ้น และติดสีเพิ่มขึ้นอย่างมีนัยสำคัญตั้งแต่เดือนที่ 1 จนถึงสิ้นสุดการศึกษา ส่วนกลุ่มที่แช่สีเหลือง สีแดง และสีน้ำเงินจะติดสีมากขึ้นเมื่อเวลาผ่านไปนานขึ้น โดยจะติดสีเพิ่มขึ้นอย่างมีนัยสำคัญตั้งแต่เดือนที่ 1 จนถึงสิ้นสุดการศึกษา ในขณะที่ขึ้นตัวอย่างที่แช่กาแฟจะติดสีมากขึ้นเมื่อเวลาผ่านไปนานขึ้น และติดสีเพิ่มขึ้นอย่างมีนัยสำคัญตั้งแต่สัปดาห์ที่ 2 จนถึงสิ้นสุดการศึกษา สำหรับ น้ำกลั่น จะติดสีมากขึ้นเมื่อเวลาผ่านไปนานขึ้นตั้งแต่เดือนที่ 3 จนจบการศึกษาจะเห็นการเปลี่ยนสีแตกต่างอย่างมีนัยสำคัญเมื่อเทียบกับตอนเริ่มต้น

เมื่อเปรียบเทียบระหว่างกลุ่มพบว่าในสัปดาห์แรก Vitaflex[®] ที่แช่กาแฟมีค่าเฉลี่ยการเปลี่ยนสีที่เพิ่มมากขึ้นและแตกต่างอย่างมีนัยสำคัญกับ Rodex[®] ที่แช่ในกาแฟตลอดระยะเวลาการศึกษา - Vitaflex[®] ที่แช่ในชามีค่าเฉลี่ยการเปลี่ยนสีเพิ่มมากขึ้นเมื่อระยะเวลาผ่านไปและเห็นการเปลี่ยนสีของวัสดุทั้งสองที่แช่ในชาแตกต่างอย่างมีนัยสำคัญในเดือนที่ 1 และเดือนที่ 6 ส่วน Vitaflex[®] ที่แช่ในน้ำกลั่น สีน้ำเงิน สีแดง และสีเหลือง จะติดสีเพิ่มขึ้นช่วงแรกเมื่อระยะเวลาผ่านไป การติดสีเริ่มคงที่ และไม่แตกต่างอย่างมีนัยสำคัญกับ Rodex[®] ที่แช่ในน้ำกลั่น สีน้ำเงิน สีแดง และสีเหลือง เมื่อจบการศึกษาพบว่า Vitaflex[®] ที่แช่ในกาแฟ ชา และสีเหลือง มีการติดสีมากขึ้นและ

แตกต่างกันอย่างมีนัยสำคัญเมื่อเทียบกับ Rodex[®] ที่แช่ในกาแฟ ชา และสีเหลือง ($p < 0.05$) ส่วน Vitaflex[®] ที่แช่ใน น้ำกลั่น สีแดง และสีน้ำเงิน พบการติดสีเพิ่มขึ้นแต่ไม่มีความแตกต่างอย่างมีนัยสำคัญเมื่อเทียบกับ Rodex[®] ที่แช่ในน้ำกลั่น สีแดง และสีน้ำเงินตามลำดับ



รูปที่ 33 กราฟแสดงค่า ΔE ของ Vitaflex[®] เมื่อแช่ในสารละลายสีต่างๆในระยะเวลาที่ต่างกัน



รูปที่ 34 กราฟแสดงค่า ΔE ของ Rodex[®] เมื่อแช่ในสารละลายสีต่างๆในระยะเวลาที่ต่างกัน

ในกลุ่มของ Vitaflex[®] พิจารณาจากตารางที่ 11 พบว่าค่า NBS Unit ของกลุ่มที่แช่ในกาแฟเริ่มมีการเปลี่ยนสีที่สังเกตเห็นได้ด้วยตาเปล่าตั้งแต่สัปดาห์แรก และเพิ่มขึ้นเรื่อยๆตลอดการศึกษา ส่วนกลุ่มที่แช่ในสารละลายสีต่างๆในกลุ่มที่เหลือง พบว่าเริ่มมีการเปลี่ยนสีที่สังเกตเห็นได้ด้วยตาเปล่าตั้งแต่สัปดาห์ที่ 2 เป็นต้นไป โดยขึ้นตัวอย่างจะติดสีเข้มเรื่อยๆ เมื่อเวลาผ่านไป เมื่อพิจารณา Rodex[®] จากตารางที่ 12 พบว่าค่า NBS Unit ของกลุ่มที่แช่ขา สีเหลือง และน้ำกลั่นเริ่มสามารถเห็นการเปลี่ยนแปลงสีได้ด้วยตาเปล่าตั้งแต่สัปดาห์ที่ 2 จนถึงสิ้นสุดการศึกษา โดยน้ำกลั่นมีค่าการเปลี่ยนแปลงสีที่เห็นด้วยตาเปล่าน้อยกว่าขา และสีเหลือง กลุ่มที่เหลืองคือ Rodex[®] ที่แช่กาแฟ สีแดง และสีน้ำเงินเริ่มมีการเปลี่ยนสีที่สังเกตเห็นได้ด้วยตาเปล่าตั้งแต่เดือนแรกจนถึงสิ้นสุดการศึกษา

เมื่อใช้ค่า NBS Unit ที่มีค่าตั้งแต่ 1.5 ถึง 3 ในการพิจารณาการเปลี่ยนสีที่เริ่มเห็นได้ด้วยตาเปล่า ของทั้งสองวัสดุพบว่าทุกสารละลายที่แช่ใน Vitaflex[®] เริ่มสามารถเห็นการเปลี่ยนสีได้ด้วยตาเปล่าตั้งแต่สัปดาห์ที่ 2 ในขณะที่ทุกสารละลายที่แช่ใน Rodex[®] เริ่มสามารถเห็นการเปลี่ยนสีได้ด้วยตาเปล่าตั้งแต่เดือนที่ 1 นอกจากนี้พบว่าวัสดุทั้งสองชนิดที่แช่ในสารละลายทุกอย่างเมื่อสิ้นสุดการศึกษามีค่า NBS Unit ไม่เกิน 3 ซึ่งทำให้เริ่มสามารถเห็นการเปลี่ยนแปลงสีได้

ด้วยตาเปล่า ยกเว้น Vitaflex[®] ที่ใช้ในกาแฟที่มีค่า NBS Unit เกิน 3 ทำให้เห็นการเปลี่ยนสีที่ชัดเจนและในทางคลินิกไม่สามารถยอมรับการเปลี่ยนสีของ Vitaflex[®] ที่ใช้ในกาแฟได้

ตารางที่ 11 แสดงค่า NBS Unit ของ Vitaflex[®] เมื่อใช้ในสารละลายต่างๆในระยะเวลาที่ต่างกัน

สารละลาย / ระยะเวลา	น้ำกลั่น	สีน้ำเงิน	สีแดง	สีเหลือง	ชา	กาแฟ
1 นาที	1.33	1.30	1.19	1.44	1.41	2.64*
2 นาที	1.63*	1.89*	1.52*	1.83*	2.09*	4.45*
1 เดือน	1.94*	1.93*	1.78*	2.25*	2.56*	5.06*
2 เดือน	1.98*	1.92*	2.08*	2.26*	2.50*	5.17*
3 เดือน	1.99*	1.74*	2.12*	2.26*	2.58*	5.22*
6 เดือน	2.34*	2.32*	2.37*	2.82*	2.88*	5.22*

ตารางที่ 12 แสดงค่า NBS Unit ของ Rodex[®] เมื่อใช้ในสารละลายต่างๆในระยะเวลาที่ต่างกัน

สารละลาย / ระยะเวลา	น้ำกลั่น	สีน้ำเงิน	สีแดง	สีเหลือง	ชา	กาแฟ
1 นาที	1.44	1.00	1.15	1.35	1.5	1.08
2 นาที	1.58*	1.3	1.38	1.81*	1.83*	1.45
1 เดือน	1.86*	1.76*	1.87*	2.13*	2.13*	1.78*
2 เดือน	1.97*	1.97*	2.04*	2.43*	2.28*	2.08*
3 เดือน	2.03*	1.89*	2.04*	2.35*	2.35*	2.12*
6 เดือน	2.12*	1.94*	2.02*	2.36*	2.47*	2.13*

หมายเหตุ NBS Unit : ตั้งแต่ 0 ถึง 0.5 Trace (เห็นการเปลี่ยนแปลงสีในปริมาณน้อยมาก)

ตั้งแต่ 0.5 ถึง 1.5 Slight (เห็นการเปลี่ยนแปลงสีในปริมาณน้อย)

ตั้งแต่ 1.5 ถึง 3 * Noticeable (เริ่มสามารถเห็นการเปลี่ยนแปลงสีได้ด้วยตาเปล่า)

ตั้งแต่ 3 ถึง 6 + Appreciable (เห็นการเปลี่ยนแปลงสีได้อย่างชัดเจน)

ข. ผลการทดสอบความแข็งผิวเฉลี่ย

จากการวิเคราะห์ผลพบว่าค่าความแข็งผิวเฉลี่ย (VHN) ของชิ้นงาน Vitaflex[®] เมื่อผ่านกระบวนการขัดแต่งตามปกติมีค่า 5.1 ± 0.24 ซึ่งมีค่าน้อยกว่า Rodex[®] (15.49 ± 0.49) ถึง 3 เท่า

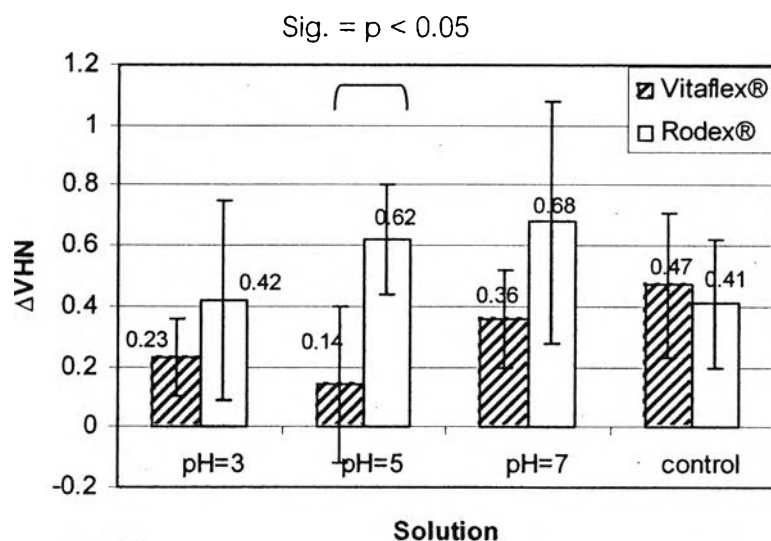
นำค่าความแข็งผิวเฉลี่ยหลังแช่สารละลายบัฟเฟอร์ [VHN (After)] ลบด้วยค่าความแข็งผิวเฉลี่ยก่อนแช่สารละลายบัฟเฟอร์ [VHN (Before)] ได้ค่าผลต่างความแข็งผิวเฉลี่ย [Δ VHN] ซึ่งถ้าค่าผลต่างความแข็งผิวเฉลี่ยเป็นบวก หมายความว่าวัสดุมีความแข็งผิวมากขึ้นกว่าเดิม แต่ถ้าค่าผลต่างความแข็งผิวเฉลี่ยเป็นลบ หมายความว่าวัสดุมีความแข็งผิวลดลง คือนิ่มลง

เมื่อพิจารณาดารวางที่ 13 และรูปที่ 35 พบว่า Vitaflex[®] ที่แช่ในสารละลายทุกกลุ่มมีค่าความแข็งผิวเพิ่มขึ้น โดยพบว่าชิ้นตัวอย่างที่แช่ในน้ำดื่ม (กลุ่มควบคุม) มีค่าผลต่างความแข็งผิวเฉลี่ยมากที่สุด รองลงมาคือกลุ่มที่แช่สารละลายบัฟเฟอร์ pH=7 และ pH=3 ตามลำดับ ส่วนค่าผลต่างความแข็งผิวเฉลี่ยน้อยที่สุดคือ กลุ่มที่แช่ในสารละลายบัฟเฟอร์ pH=5 โดยพบว่า Vitaflex[®] ที่แช่ในสารละลายบัฟเฟอร์ pH=3, 5, 7 และน้ำดื่มไม่มีความแตกต่างอย่างมีนัยสำคัญ ส่วน Rodex[®] มีค่าความแข็งผิวเพิ่มขึ้นจากเดิมเช่นเดียวกับ Vitaflex[®] แต่มีค่ามากกว่า โดยพบว่า Rodex[®] มีค่าความแข็งผิวเพิ่มมากขึ้นทุกกลุ่มโดยกลุ่มที่แช่สารละลายบัฟเฟอร์ pH=7 มีค่าผลต่างความแข็งผิวเฉลี่ยมากที่สุด รองลงมาคือกลุ่มที่แช่สารละลายบัฟเฟอร์ pH=5 และ pH=3 ตามลำดับ และกลุ่มที่มีค่าผลต่างความแข็งผิวเฉลี่ยน้อยที่สุดคือกลุ่มน้ำดื่มโดยพบว่า Rodex[®] ที่แช่ในสารละลายบัฟเฟอร์ pH=3, 5, 7 และน้ำดื่มไม่มีความแตกต่างกันของความแข็งผิวเฉลี่ยอย่างมีนัยสำคัญ

นำค่าผลต่างความแข็งผิวเฉลี่ยแต่ละกลุ่ม มาวิเคราะห์ความแปรปรวนสองทาง (Two way ANOVA) พบว่าวัสดุสองชนิดมีความแตกต่างอย่างมีนัยสำคัญ ส่วนชนิดของสารละลายบัฟเฟอร์แต่ละชนิดไม่มีความแตกต่างอย่างมีนัยสำคัญ แต่พบว่ามีชนิดของวัสดุและชนิดของสารละลายบัฟเฟอร์อย่างน้อย 1 คู่ที่ทำให้เกิดความแตกต่างอย่างมีนัยสำคัญ หลังจากนั้นดู Post Hoc Tests โดยใช้ Tamhane พบว่า Rodex[®] ที่แช่ในสารละลายบัฟเฟอร์ที่ pH= 5 มีความแตกต่างอย่างมีนัยสำคัญกับ Vitaflex[®] ที่แช่ในสารละลายบัฟเฟอร์ที่ pH= 5 ที่ $p < 0.05$

ตารางที่ 13 แสดงค่าความแข็งผิวเฉลี่ยของวัสดุ Vitaflex[®] และ Rodex[®] ก่อนแช่ (VHN (Before)) หลังแช่ในสารละลายบัฟเฟอร์ (VHN (After)) รวมถึงค่าผลต่างความแข็งผิวเฉลี่ย (Δ VHN)

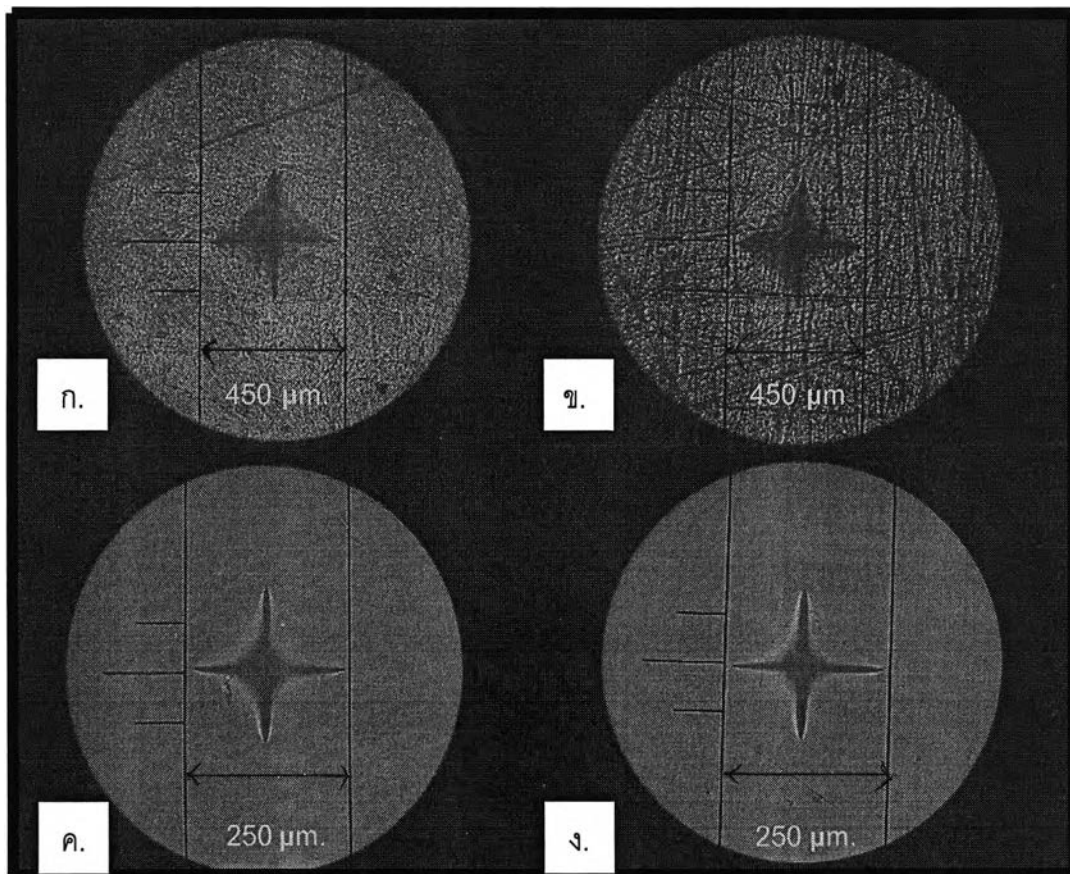
Solution	Material	Mean \pm SD of VHN (Before)	Mean \pm SD of VHN (After)	Mean \pm SD of Δ VHN
pH=3	Vitaflex [®]	5.22 \pm 0.12	5.45 \pm 0.18	0.23 \pm 0.13
	Rodex [®]	15.68 \pm 0.48	16.10 \pm 0.37	0.42 \pm 0.33
pH=5	Vitaflex [®]	5.08 \pm 0.29	5.22 \pm 0.18	0.14 \pm 0.26
	Rodex [®]	15.18 \pm 0.29	15.81 \pm 0.37	0.62 \pm 0.18
pH=7	Vitaflex [®]	5.12 \pm 0.23	5.49 \pm 0.23	0.36 \pm 0.16
	Rodex [®]	15.54 \pm 0.57	16.21 \pm 0.31	0.68 \pm 0.40
Water (control)	Vitaflex [®]	4.96 \pm 0.25	5.44 \pm 0.19	0.47 \pm 0.24
	Rodex [®]	15.57 \pm 0.49	15.98 \pm 0.38	0.41 \pm 0.21



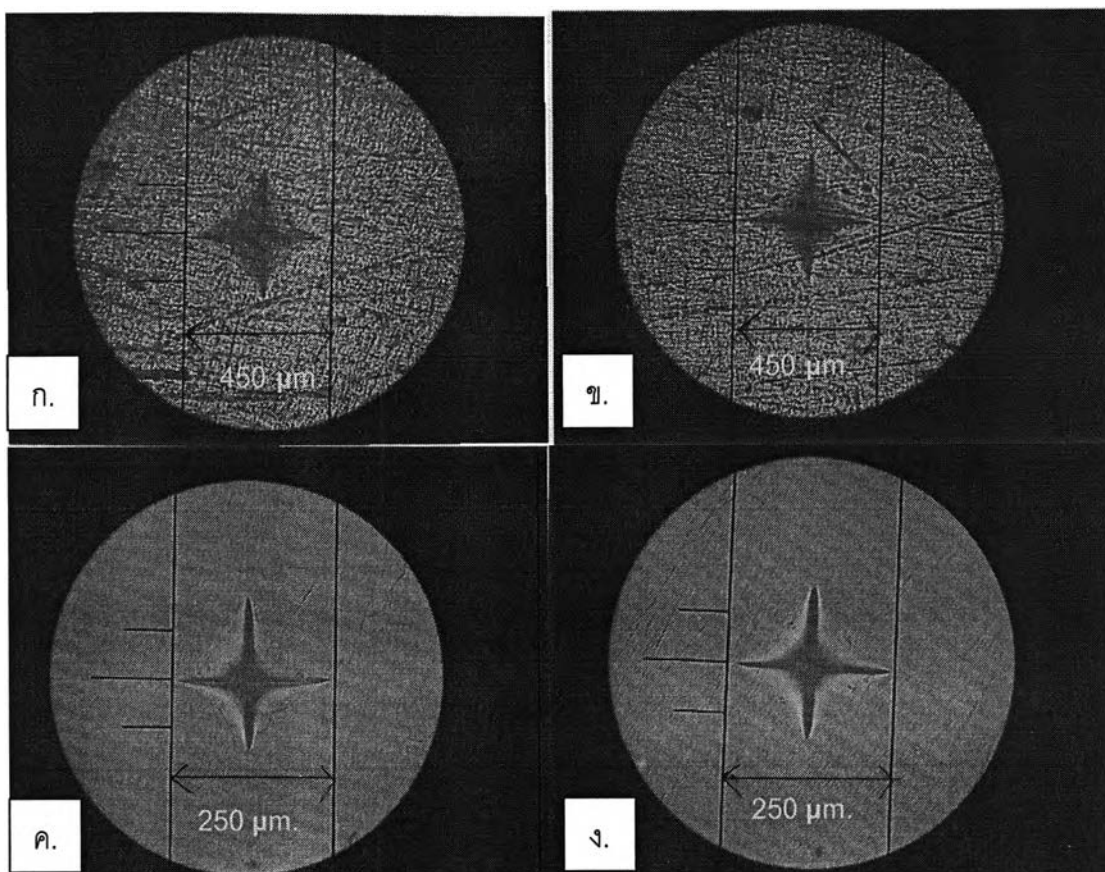
รูปที่ 35 แผนภูมิแสดงค่าผลต่างของความแข็งผิวเฉลี่ยของวัสดุ Vitaflex[®] เปรียบเทียบกับ Rodex[®] เมื่อแช่ในสารละลายบัฟเฟอร์

จากรูปที่ 36 ถึง 39 แสดงการเปรียบเทียบผลของรอยกุดความแข็งผิวของวัสดุทั้งสองชนิด ก่อนและหลังแช่ในสารละลายบัฟเฟอร์ที่มี pH=3, 5, 7 และน้ำดื่ม โดยพบว่าทั้งสองวัสดุมีรอยกุดหลังแช่สารละลายทุกชนิดมีขนาดใหญ่กว่าก่อนแช่สารละลายทุกชนิด และถ้าใช้กำลังขยายเท่ากันจะพบว่ารอยกุดของ Vitaflex[®] จะมีลักษณะแบนและใหญ่กว่า Rodex[®] (รูปที่ 40)

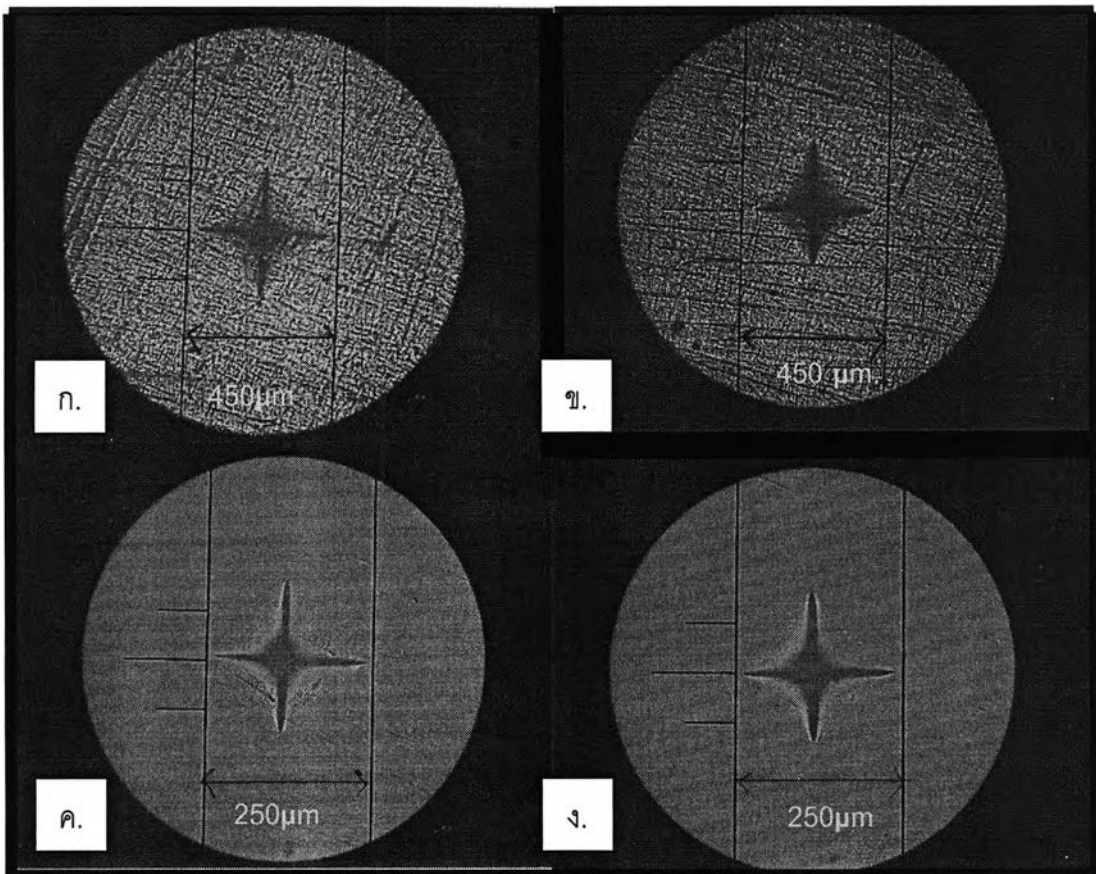
สรุปการทดลองได้ดังนี้คือ Vitaflex[®] มีความแข็งผิวน้อยกว่า Rodex[®] หลังการขัดแต่งตามปกติ และ ผลของ pH ที่มีต่อทั้งสองวัสดุ คือ pH ทำให้ค่าความแข็งผิวของแต่ละวัสดุเพิ่มขึ้น แต่ไม่แตกต่างกันอย่างมีนัยสำคัญเมื่อเทียบกับวัสดุเดียวกัน และการเพิ่มขึ้นของความแข็งผิวทั้งสองวัสดุไม่เท่ากัน โดยค่าความแข็งผิวเฉลี่ยของ Rodex[®] มากกว่า Vitaflex[®] ทุกสารละลายยกเว้นกลุ่มที่แช่น้ำดื่ม และพบว่า Rodex[®] ที่แช่ในสารละลายบัฟเฟอร์ pH=5 ให้ค่าความแข็งผิวเพิ่มขึ้นอย่างมีนัยสำคัญเมื่อเทียบกับ Vitaflex[®] ที่แช่ในสารละลายบัฟเฟอร์ pH=5



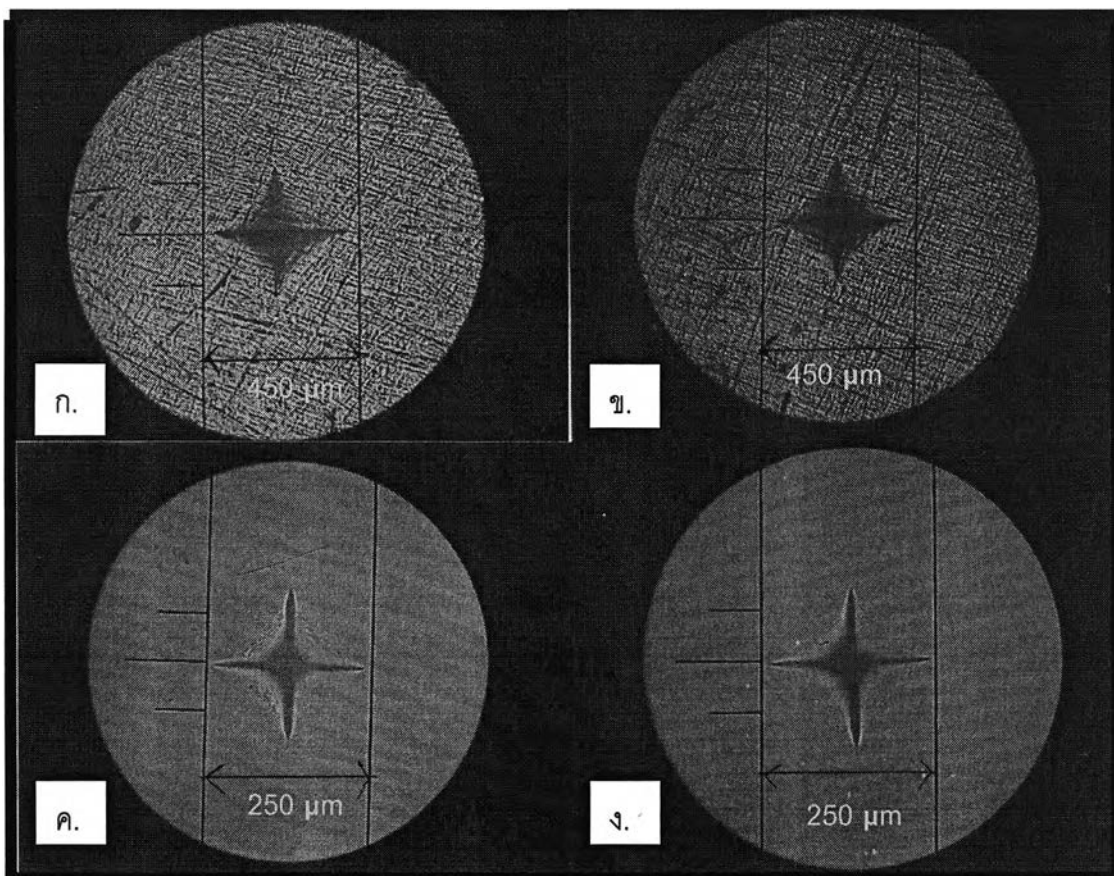
- รูปที่ 36 ก. แสดงภาพรอยกดของ Vitaflex[®] ก่อนแฉสารละลายบัฟเฟอร์ pH=3 ที่ได้จากการทดสอบความแข็งผิว ที่กำลังขยาย 100 เท่า
- ข. แสดงภาพรอยกดของ Vitaflex[®] หลังแฉสารละลายบัฟเฟอร์ pH=3 ที่ได้จากการทดสอบความแข็งผิว ที่กำลังขยาย 100 เท่า
- ค. แสดงภาพรอยกดของ Rodex[®] ก่อนแฉสารละลายบัฟเฟอร์ pH=3 ที่ได้จากการทดสอบความแข็งผิว ที่กำลังขยาย 200 เท่า
- ง. แสดงภาพรอยกดของ Rodex[®] หลังแฉสารละลายบัฟเฟอร์ pH=3 ที่ได้จากการทดสอบความแข็งผิว ที่กำลังขยาย 200 เท่า



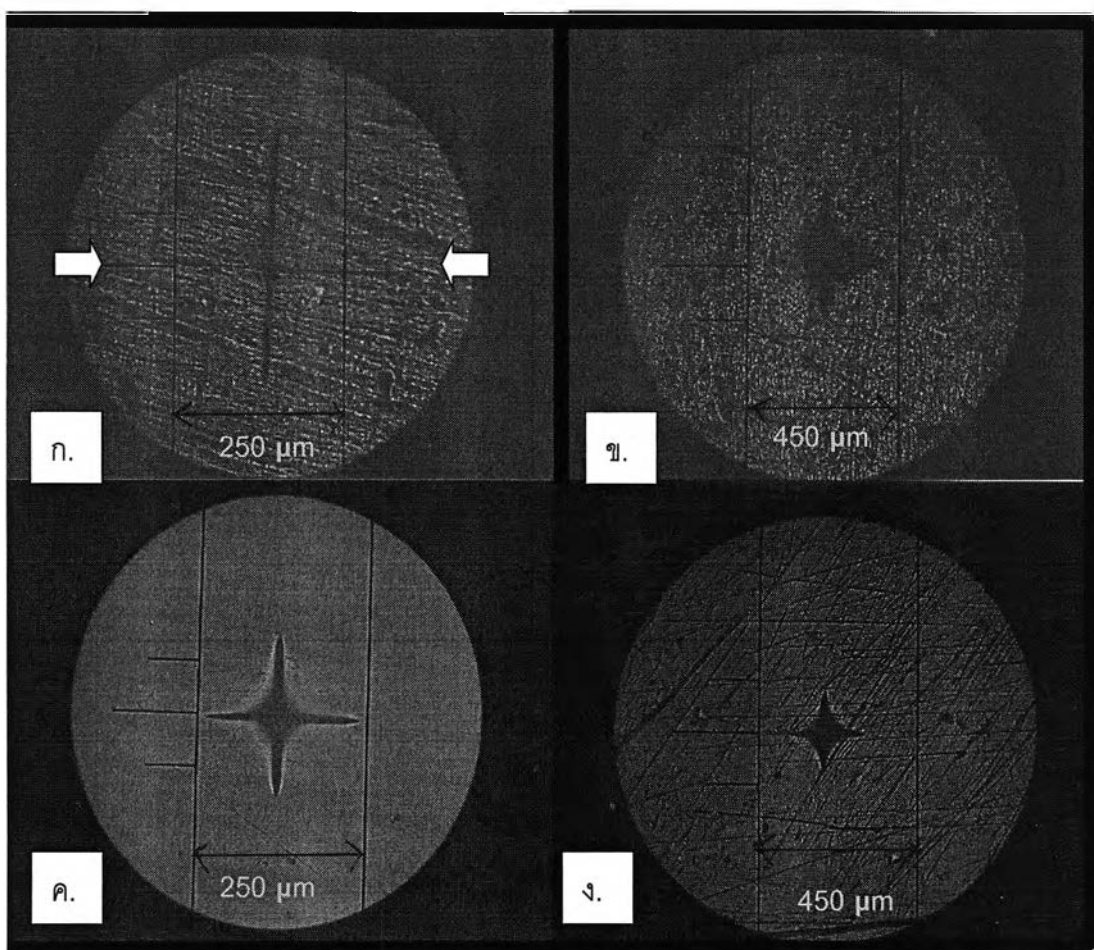
- รูปที่ 37 ก. แสดงภาพรอยกดของ Vitaflex[®] ก่อนแช่สารละลายบัฟเฟอร์ pH=5 ที่ได้จากการทดสอบความแข็งผิว ที่กำลังขยาย 100 เท่า
- ข. แสดงภาพรอยกดของ Vitaflex[®] หลังแช่สารละลายบัฟเฟอร์ pH=5 ที่ได้จากการทดสอบความแข็งผิว ที่กำลังขยาย 100 เท่า
- ค. แสดงภาพรอยกดของ Rodex[®] ก่อนแช่สารละลายบัฟเฟอร์ pH=5 ที่ได้จากการทดสอบความแข็งผิว ที่กำลังขยาย 200 เท่า
- ง. แสดงภาพรอยกดของ Rodex[®] หลังแช่สารละลายบัฟเฟอร์ pH=5 ที่ได้จากการทดสอบความแข็งผิว ที่กำลังขยาย 200 เท่า



- รูปที่ 38 ก. แสดงภาพรอยกดของ Vitaflex[®] ก่อนแช่สารละลายบัฟเฟอร์ pH=7 ที่ได้จากการทดสอบความแข็งผิว ที่กำลังขยาย 100 เท่า
- ข. แสดงภาพรอยกดของ Vitaflex[®] หลังแช่สารละลายบัฟเฟอร์ pH=7 ที่ได้จากการทดสอบความแข็งผิว ที่กำลังขยาย 100 เท่า
- ค. แสดงภาพรอยกดของ Rodex[®] ก่อนแช่สารละลายบัฟเฟอร์ pH=7 ที่ได้จากการทดสอบความแข็งผิว ที่กำลังขยาย 200 เท่า
- ง. แสดงภาพรอยกดของ Rodex[®] หลังแช่สารละลายบัฟเฟอร์ pH=7 ที่ได้จากการทดสอบความแข็งผิว ที่กำลังขยาย 200 เท่า



- รูปที่ 39 ก. แสดงภาพรอยกดของ Vitaflex[®] ก่อนแช่น้ำดื่ม ที่ได้จากการทดสอบความแข็งผิว ที่กำลังขยาย 100 เท่า
- ข. แสดงภาพรอยกดของ Vitaflex[®] หลังแช่น้ำดื่ม ที่ได้จากการ ทดสอบความแข็งผิว ที่กำลังขยาย 100 เท่า
- ค. แสดงภาพรอยกดของ Rodex[®] ก่อนแช่น้ำดื่ม ที่ได้จากการทดสอบความแข็งผิว ที่กำลังขยาย 200 เท่า
- ง. แสดงภาพรอยกดของ Rodex[®] หลังแช่น้ำดื่ม ที่ได้จากการทดสอบความแข็งผิว ที่กำลังขยาย 200 เท่า



รูปที่ 40 ก. แสดงรอยกดความแข็งผิวของ Vitaflex[®] ที่กำลังขยาย 200 เท่า
 ข. แสดงรอยกดความแข็งผิวของ Vitaflex[®] ที่กำลังขยาย 100 เท่า
 ค. แสดงรอยกดความแข็งผิวของ Rodex[®] ที่กำลังขยาย 200 เท่า
 ง. แสดงรอยกดความแข็งผิวของ Rodex[®] ที่กำลังขยาย 100 เท่า

ค. ผลการทดสอบความหยาบเฉลี่ยของพื้นผิวทั้งหมด

จากการวิเคราะห์ผล พบว่าค่าความหยาบเฉลี่ยของพื้นผิวทั้งหมดของชิ้นงาน Vitaflex[®] เมื่อผ่านกระบวนการขัดแต่งตามปกติ มีค่า $Sa = 0.18 \pm 0.041 \mu\text{m}$ ซึ่งมีค่ามากกว่า Rodex[®] ($Sa = 0.08 \pm 0.027 \mu\text{m}$) ถึง 2.25 เท่า ซึ่งค่าความหยาบ Sa นี้ให้ผลไปในทิศทางเดียวกับ Ra ของการศึกษานำร่อง (ภาคผนวก) คือ ไนลอนมีความหยาบมากกว่าเรซินอะคริลิก

นำค่าความหยาบเฉลี่ยของพื้นผิวทั้งหมดหลังแช่สารละลายบัฟเฟอร์ [Sa (After)] ลบด้วยค่าความหยาบเฉลี่ยของพื้นผิวทั้งหมดก่อนแช่สารละลายบัฟเฟอร์ [Sa (Before)] ได้ค่าผลต่างความหยาบเฉลี่ยของพื้นผิวทั้งหมด (ΔSa) ซึ่งถ้าค่าผลต่างความหยาบเฉลี่ยของพื้นผิวทั้งหมดเป็นบวก หมายความว่าวัสดุมีความหยาบของพื้นผิวมากขึ้นกว่าเดิม แต่ถ้าค่าผลต่างความหยาบเฉลี่ยของพื้นผิวทั้งหมดเป็นลบ หมายความว่าวัสดุมีความหยาบของพื้นผิวลดลง (เรียบขึ้น)

จากตารางที่ 14 และรูปที่ 41 พบว่า Vitaflex[®] มีค่าผลต่างความหยาบเฉลี่ยของพื้นผิวทั้งหมด (ΔSa) เพิ่มมากขึ้นทุกกลุ่ม แปลว่าหยาบขึ้นทุกกลุ่ม โดยกลุ่มที่แช่ในสารละลายบัฟเฟอร์ pH=3 พบว่ามีค่าความหยาบเฉลี่ยมากที่สุดและมีความแตกต่างอย่างมีนัยสำคัญกับกลุ่ม pH=7 และ น้ำต้ม รองลงมาคือกลุ่มที่แช่ในสารละลายบัฟเฟอร์ pH=5 และ กลุ่มที่แช่สารละลายบัฟเฟอร์ pH=7 ตามลำดับสำหรับกลุ่มที่แช่ในน้ำต้ม (กลุ่มควบคุม) มีการเปลี่ยนแปลงของค่าความหยาบเฉลี่ยของพื้นผิวทั้งหมดน้อยที่สุดทั้งนี้มีความแตกต่างจากกลุ่ม pH=7 น้อยมาก

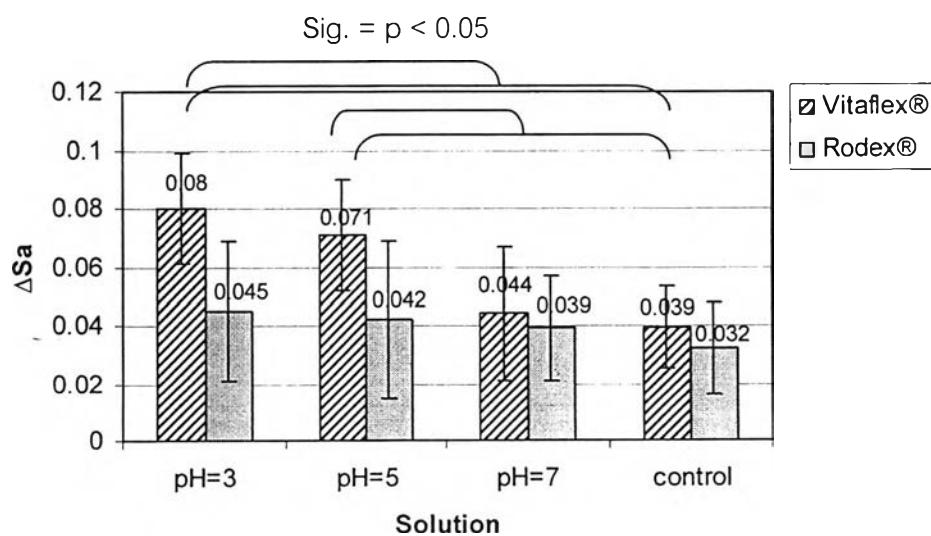
เมื่อพิจารณา Rodex[®] พบว่ามีค่าความหยาบเฉลี่ยของพื้นผิวทั้งหมดเพิ่มขึ้นจากเดิมเช่นเดียวกัน โดยพบว่า Rodex[®] ที่แช่ในสารละลายบัฟเฟอร์ pH=3 มีค่าความหยาบเฉลี่ยของพื้นผิวทั้งหมดมากที่สุด รองลงมาคือกลุ่มที่แช่สารละลายบัฟเฟอร์ pH=5 สารละลายบัฟเฟอร์ pH=7 ตามลำดับ ส่วนกลุ่มที่แช่ในน้ำต้มมีค่าน้อยที่สุดโดยทุกสารละลายที่แช่ใน Rodex[®] มีค่าความหยาบเฉลี่ยของพื้นผิวทั้งหมดไม่แตกต่างกัน

นำผลต่างของความหยาบเฉลี่ยของพื้นผิวทั้งหมดในทุกกลุ่ม มาวิเคราะห์ความแปรปรวนสองทาง (Two way ANOVA) พบว่าวัสดุสองชนิดมีความแตกต่างอย่างมีนัยสำคัญ และพบว่าสารละลายแต่ละชนิดมีความแตกต่างอย่างมีนัยสำคัญ หลังจากนั้นดู Post Hoc Tests โดยใช้ Bonferroni พบว่า Rodex[®] ไม่แตกต่างกันในทุกสภาวะคือกรดสามารถกัดกร่อนพื้นผิวทำให้เกิดความหยาบเพิ่มขึ้นแต่ไม่แตกต่างอย่างมีนัยสำคัญเมื่อเทียบกับชิ้นงานก่อนแช่ ในขณะที่กรด

สามารถกัดกร่อนพื้นผิวของ Vitaflex[®] ทำให้เกิดความหยาบเพิ่มขึ้นอย่างมีนัยสำคัญ โดย Vitaflex[®] ที่แช่สารละลายบัฟเฟอร์ pH=3 และ Vitaflex[®] ที่แช่สารละลายบัฟเฟอร์ pH=5 มีความหยาบเพิ่มมากขึ้นอย่างมีนัยสำคัญเมื่อเทียบกับ Vitaflex[®] ที่แช่สารละลายบัฟเฟอร์ pH=7 และ Vitaflex[®] ที่แช่น้ำดื่ม ที่ $p < 0.05$

ตารางที่ 14 แสดงค่า Sa ก่อนแช่และหลังแช่สารละลายบัฟเฟอร์ รวมถึง ΔSa ของทั้งสองวัสดุ

Solution	Material	Mean \pm SD of Sa (Before)	Mean \pm SD of Sa (After)	Mean \pm SD of ΔSa
pH=3	Vitaflex [®]	0.182 \pm 0.037	0.261 \pm 0.036	0.080 \pm 0.019
	Rodex [®]	0.064 \pm 0.018	0.109 \pm 0.015	0.045 \pm 0.024
pH=5	Vitaflex [®]	0.197 \pm 0.053	0.268 \pm 0.052	0.071 \pm 0.019
	Rodex [®]	0.087 \pm 0.025	0.130 \pm 0.035	0.042 \pm 0.027
pH=7	Vitaflex [®]	0.172 \pm 0.037	0.217 \pm 0.044	0.044 \pm 0.023
	Rodex [®]	0.100 \pm 0.019	0.140 \pm 0.022	0.039 \pm 0.018
Water (control)	Vitaflex [®]	0.165 \pm 0.033	0.204 \pm 0.039	0.039 \pm 0.014
	Rodex [®]	0.082 \pm 0.034	0.115 \pm 0.034	0.032 \pm 0.016

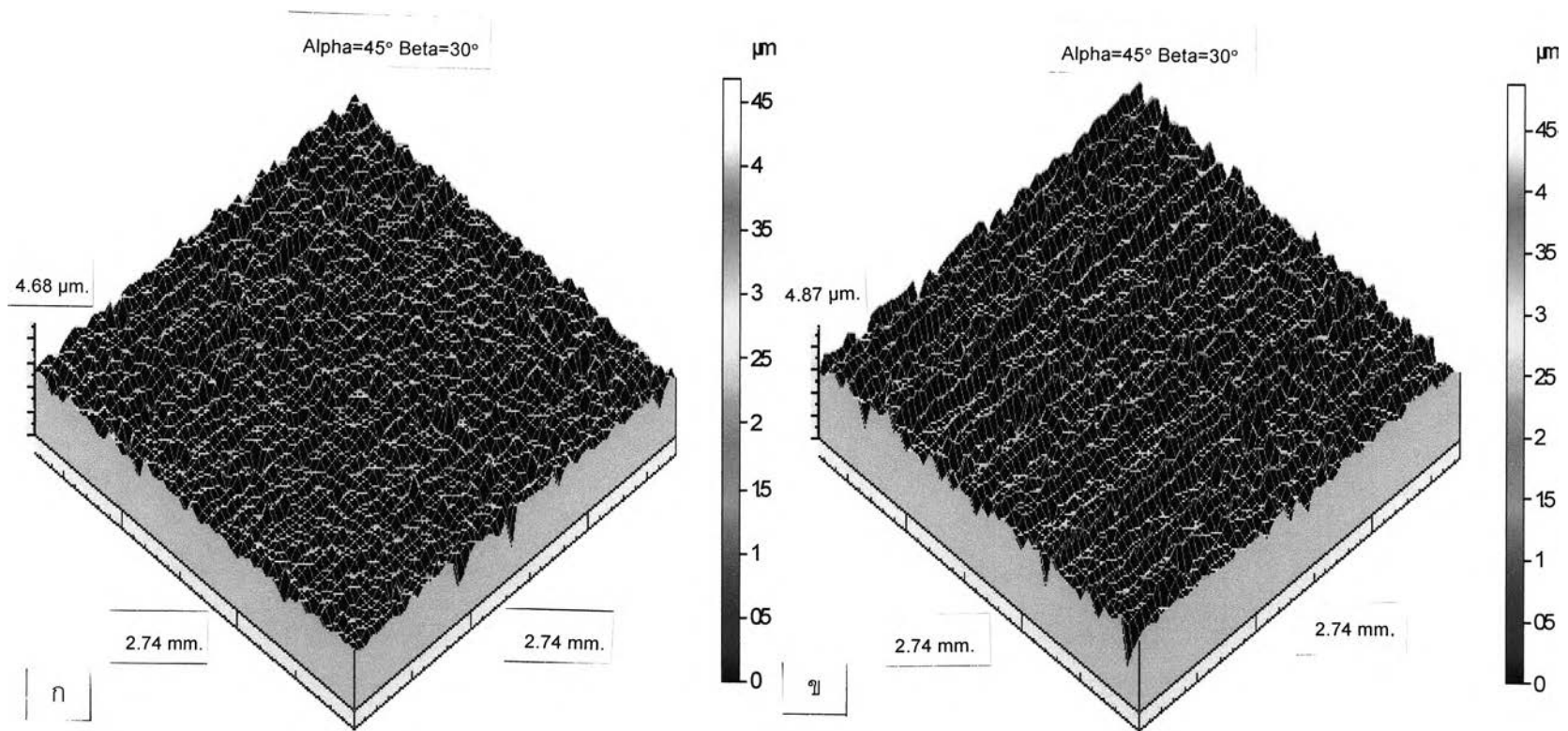


รูปที่ 41 แผนภูมิแสดงค่า ΔSa ของสองวัสดุเมื่อแช่ในสารละลายบัฟเฟอร์

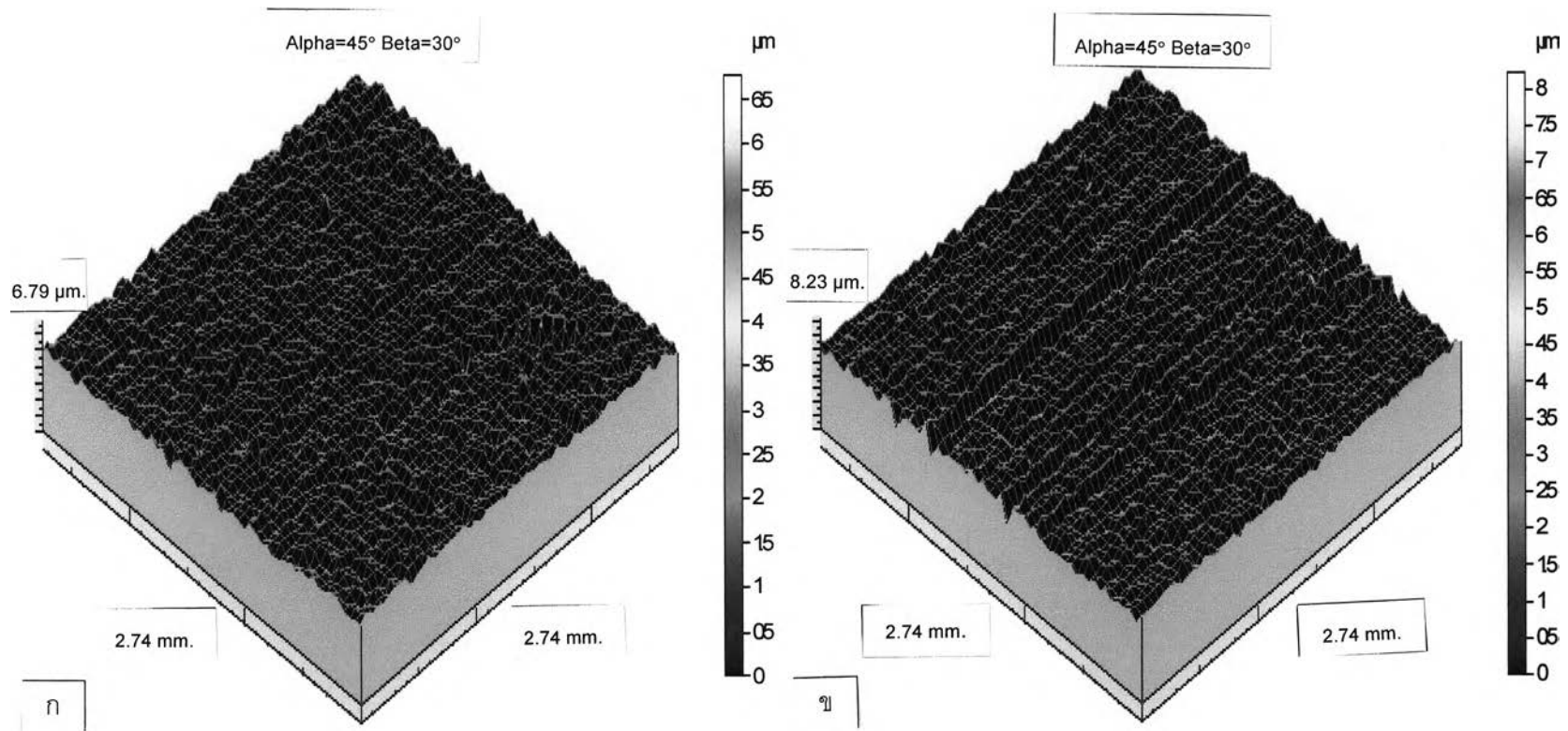
เมื่อพิจารณาตารางที่ 14 พบว่าค่าความหยาบเฉลี่ยของพื้นผิวทั้งหมด หลังแช่สารละลายทุกชนิดของ Vitaflex[®] มีค่ามากกว่า 0.2 μm . ในขณะที่ Rodex[®] มีค่าน้อยกว่า 0.2 μm . แสดงถึงชิ้นตัวอย่างมีโอกาสเกิดคราบแบคทีเรียมาสะสม

เมื่อประเมินค่าความหยาบเฉลี่ยของพื้นผิวทั้งหมดได้แล้วเครื่อง profilometer สามารถแปรผลเป็นรูปภาพสามมิติ แสดงความหยาบของพื้นผิว โดยรูปภาพจะแสดงระดับความสูงและต่ำของพื้นที่ด้วยสี โดยพื้นที่ที่มีระดับความสูงมากที่สุดจะแสดงสีขาว รองลงมาคือสีแดง สีเหลือง สีเขียว สีฟ้า สีน้ำเงิน ตามลำดับ และพื้นที่ที่ระดับต่ำสุดคือ สีดำ ในรูปที่ 42 ถึง 45 คือชิ้นงาน Vitaflex[®] ก่อนและหลังแช่สารละลายต่างๆ สำหรับรูปที่ 46 ถึง 49 คือชิ้นงาน Rodex[®] ก่อนและหลังแช่สารละลายต่างๆ การที่รูปแสดงหลายเฉดสีเช่นพื้นที่ที่มีสีแดง สีเหลือง สีเขียวแสดงให้เห็นว่ารูปนั้นมีพื้นที่หลายระดับซึ่งจะมีความหยาบและค่า Sa มากกว่าพื้นที่ที่มีเฉดสีที่น้อยกว่าเช่นพื้นที่ที่มีสีเหลือง สีเขียว นอกจากนี้รูปภาพยังแสดงถึงลักษณะของพื้นผิว ซึ่งจะทำให้เห็นว่าลักษณะการที่พื้นผิวของชิ้นงานถูกกัดกร่อนในลักษณะเช่นไร โดยในรูปที่ 42 และ 43 พบว่า Vitaflex[®] หลังแช่สารละลายบัฟเฟอร์ pH=3 หรือ pH=5 มีการกัดกร่อนของพื้นผิวมากคือมีหลายสีในรูปภาพ และมีความลึกของการกัดกร่อนมากกว่าก่อนแช่ ส่วน Vitaflex[®] หลังแช่สารละลายบัฟเฟอร์ที่มี pH=7 หรือ น้ำดื่ม (รูปที่ 44 และ 45) มีการกัดกร่อนน้อยจนแทบจะไม่เห็นการเปลี่ยนแปลงทั้งในเรื่องเฉดสีและความลึกของการถูกสารละลายบัฟเฟอร์กัดกร่อน

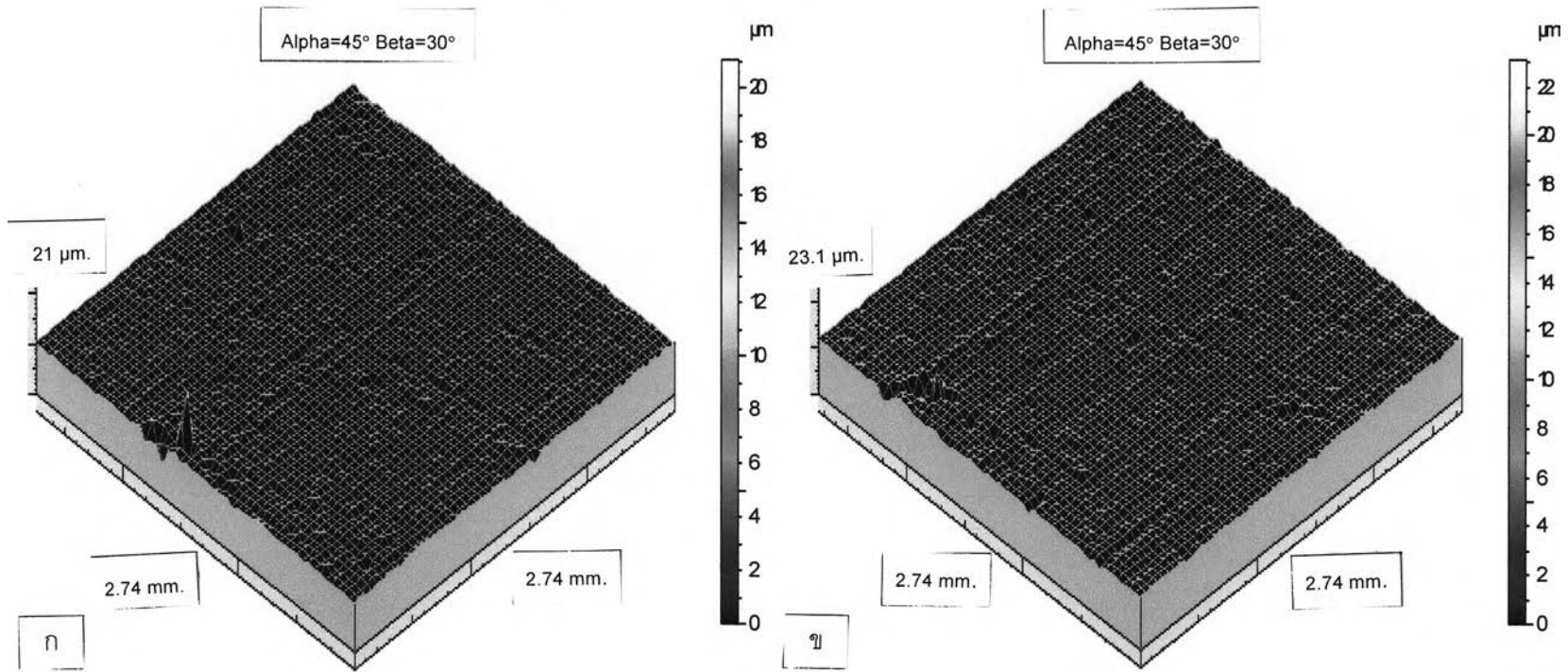
เมื่อพิจารณาในรูปที่ 46 และ 47 พบว่า Rodex[®] หลังแช่สารละลายบัฟเฟอร์ที่มี pH =3 หรือ pH=5 มีการกัดกร่อนของพื้นผิวคือมีหลายเฉดสีในรูปและมีความลึกของการกัดกร่อนมากกว่า Rodex[®] ก่อนแช่สารละลายบัฟเฟอร์ที่มี pH=3 หรือ pH=5 ส่วน Rodex[®] หลังแช่สารละลายบัฟเฟอร์ที่มี pH=7 หรือ น้ำดื่ม มีการกัดกร่อนน้อยมากจนแทบจะไม่เห็นการเปลี่ยนแปลงทั้งในเรื่องเฉดสีและความลึกของการถูกสารละลายบัฟเฟอร์กัดกร่อน เมื่อเปรียบเทียบกับ Rodex[®] ก่อนแช่สารละลายบัฟเฟอร์ที่มี pH=7 หรือ น้ำดื่ม (รูปที่ 48 และ 49)



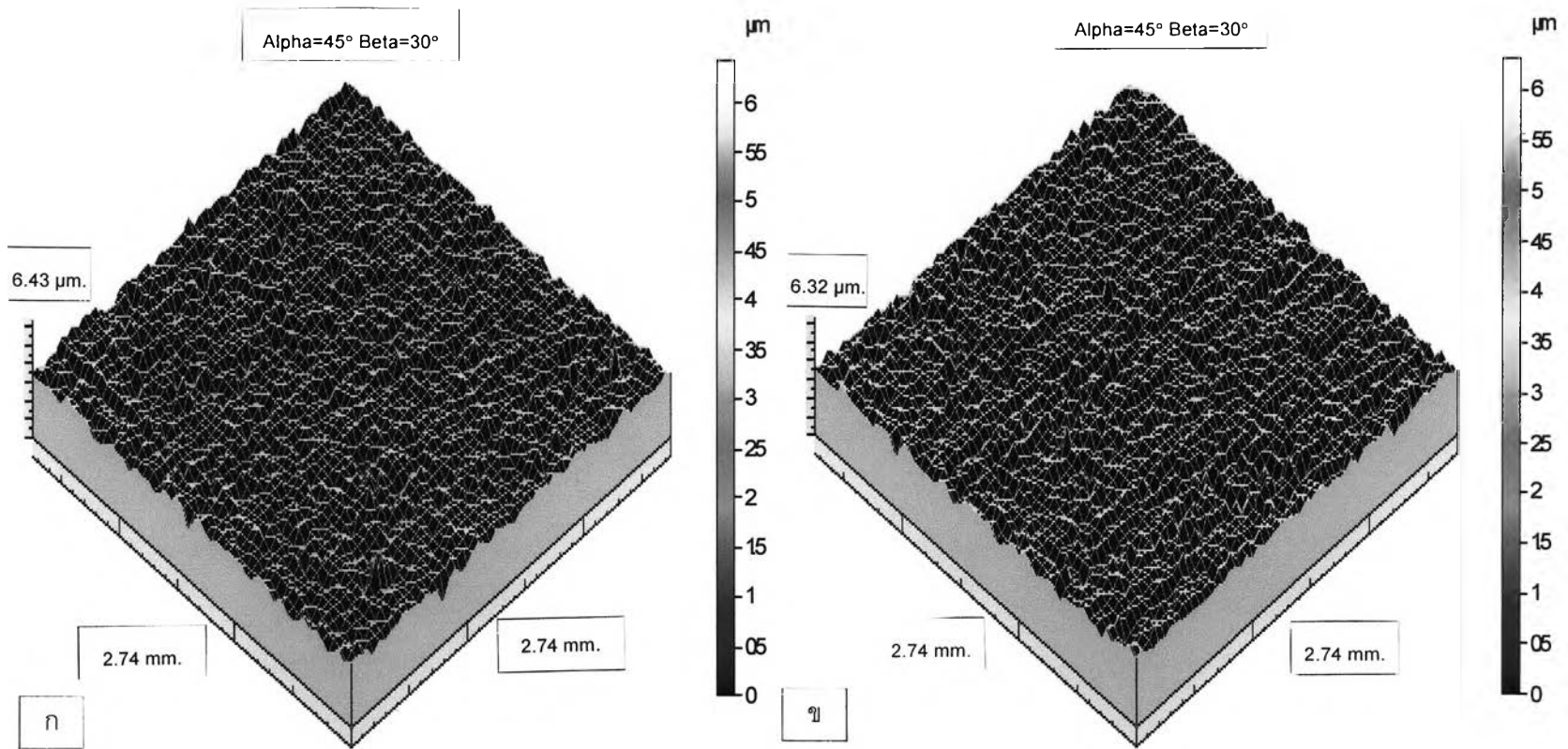
รูปที่ 42 แสดงการเปรียบเทียบรูปความหยาบของพื้นผิวแบบ 3 มิติ จากเครื่อง profilometer ของ Vitaflex[®] ก่อนแช่ (ก.) และหลังแช่ (ข.) ในสารละลายบัฟเฟอร์ $\text{pH} = 3$



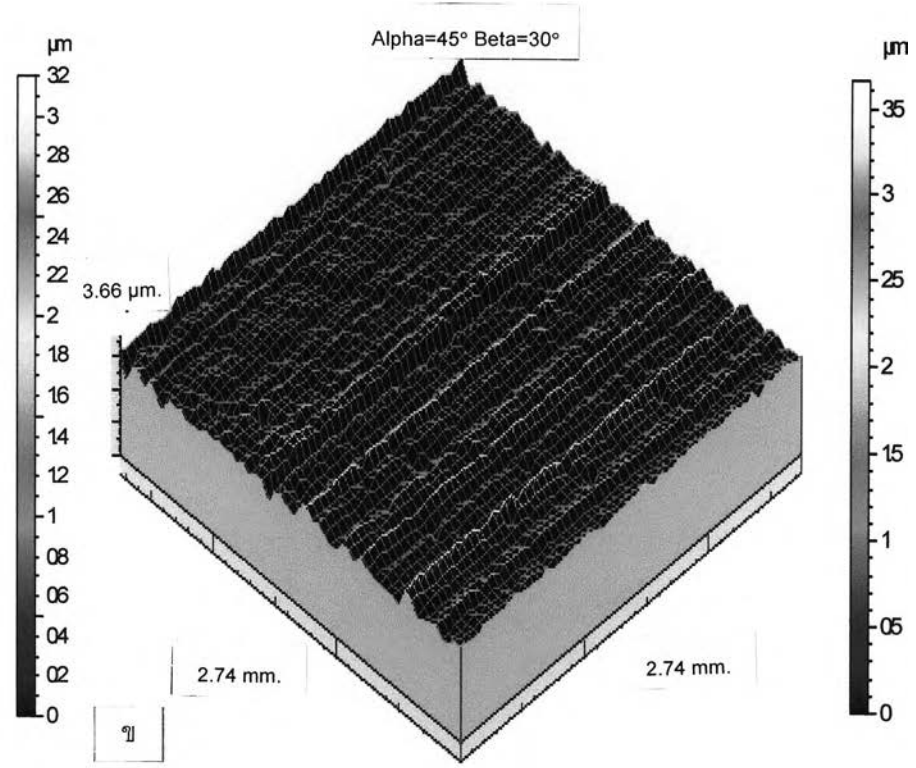
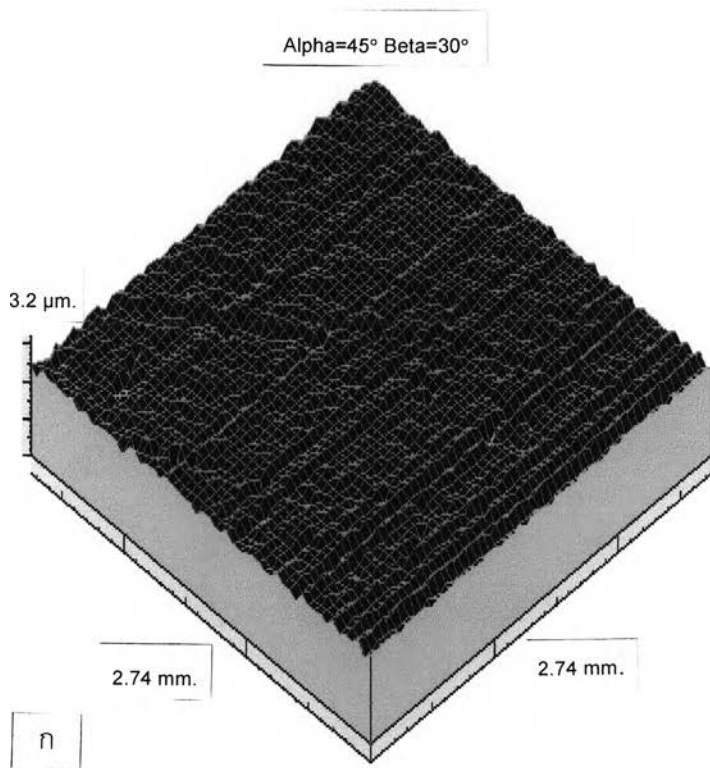
รูปที่ 43 แสดงการเปรียบเทียบรูปความหยาบของพื้นผิวแบบ 3 มิติ จากเครื่อง profilometer ของ Vitaflex[®] ก่อนแช่ (ก.) และหลังแช่ (ข.) ในสารละลายบัฟเฟอร์
pH = 5



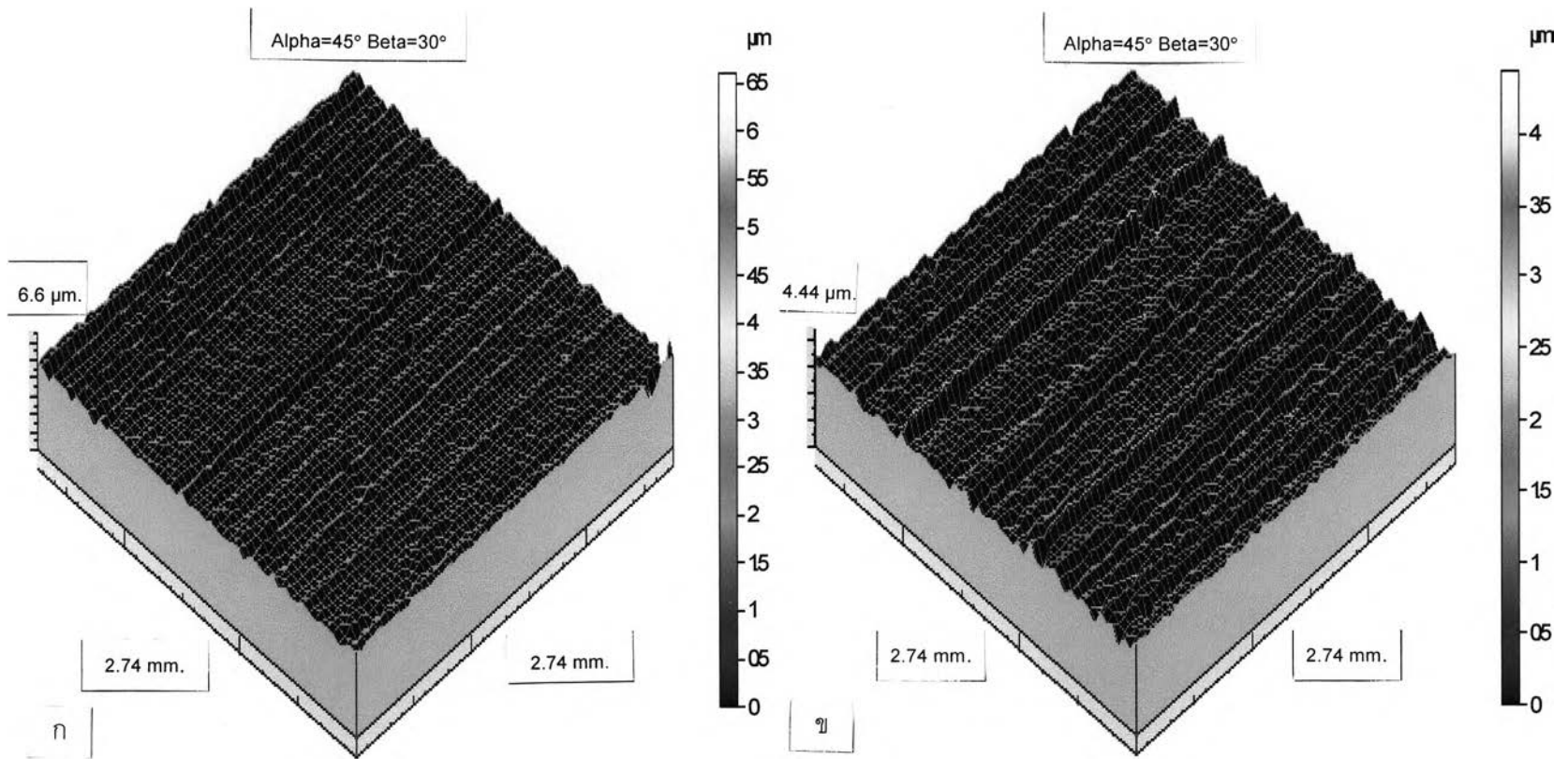
รูปที่ 44 แสดงการเปรียบเทียบรูปความหยาบของพื้นผิวแบบ 3 มิติ จากเครื่อง profilometer ของ Vitaflex[®] ก่อนแช่ (ก.) และหลังแช่ (ข.) ในสารละลายบัฟเฟอร์
pH = 7



รูปที่ 45 แสดงการเปรียบเทียบรูปความหยาบของพื้นผิวแบบ 3 มิติ จากเครื่อง profilometer ของ Vitaflex[®] ก่อนแช่ (ก.) และหลังแช่ (ข.) ในน้ำดื่ม

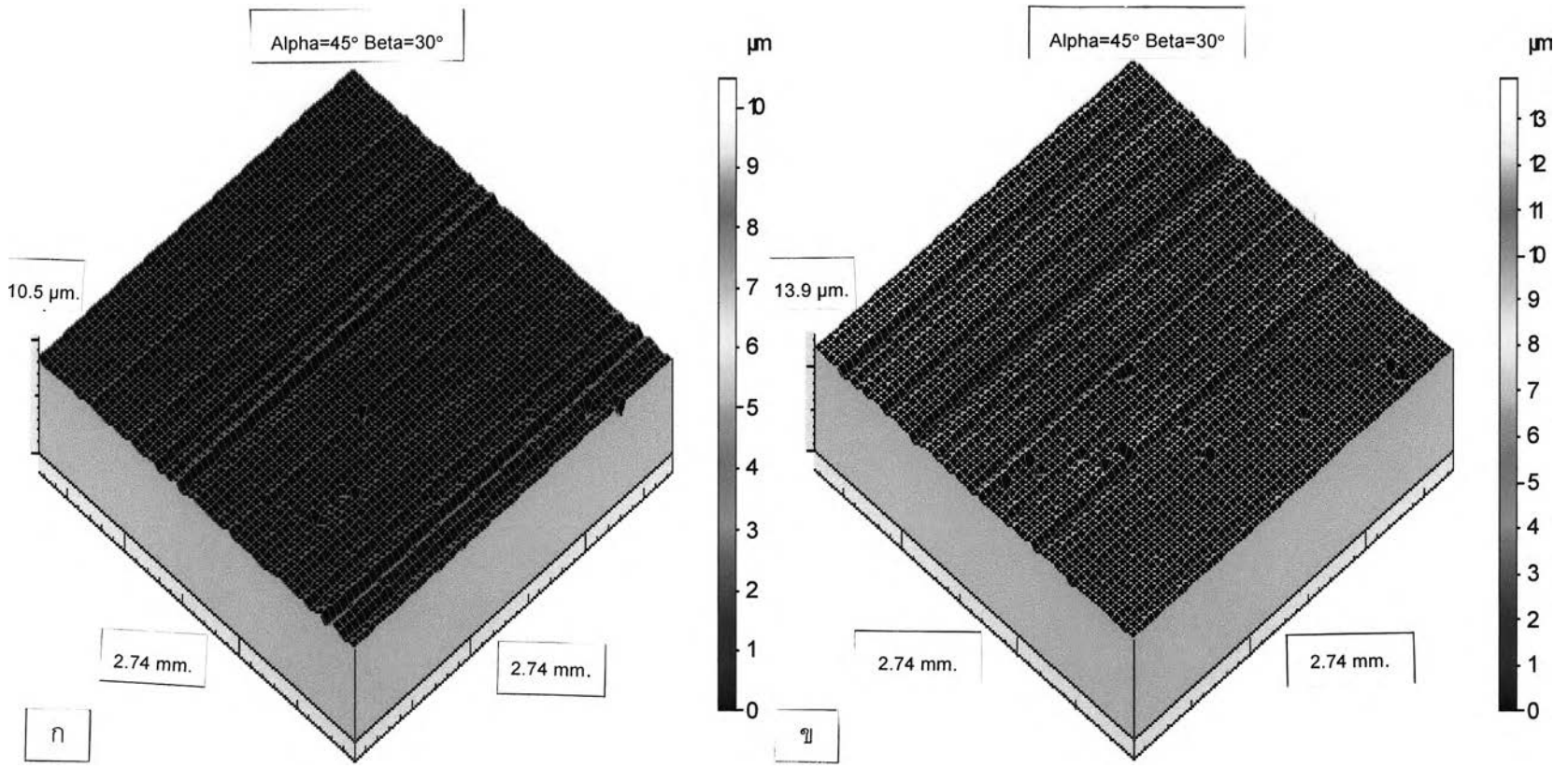


รูปที่ 46 แสดงการเปรียบเทียบรูปความหยาบของพื้นผิวแบบ 3 มิติ จากเครื่อง profilometer ของ Rodex[®] ก่อนแช่ (ก.) และหลังแช่ (ข.) ในสารละลายบัฟเฟอร์ pH = 3

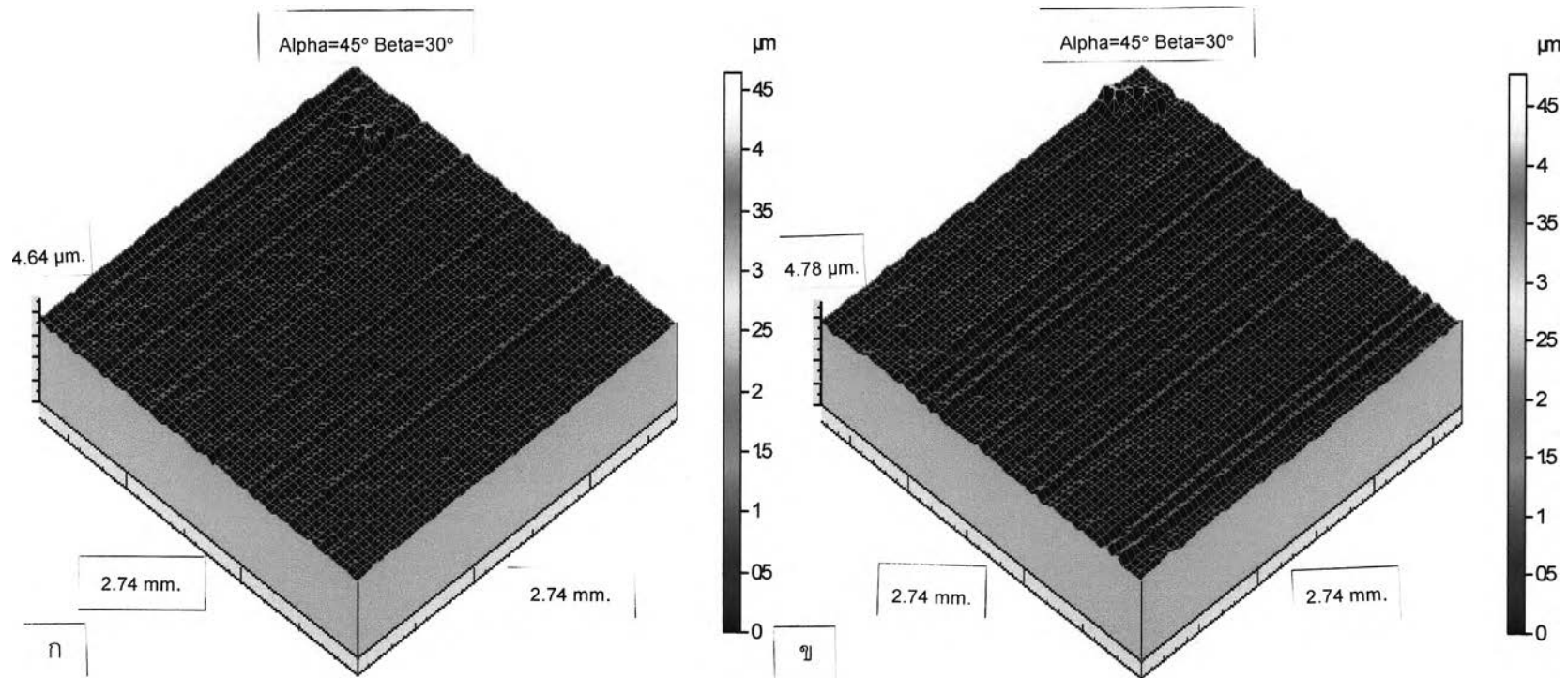


รูปที่ 47 แสดงการเปรียบเทียบรูปความหยาบของพื้นผิวแบบ 3 มิติ จากเครื่อง profilometer ของ Rodex[®] ก่อนแช่ (ก.) และหลังแช่ (ข.) ในสารละลายบัฟเฟอร์

pH = 5



รูปที่ 48 แสดงการเปรียบเทียบรูปความหยาบของพื้นผิวแบบ 3 มิติ จากเครื่อง profilometer ของ Rodex[®] ก่อนแช่ (ก.) และหลังแช่ (ข.) ในสารละลายบัฟเฟอร์ pH = 7



รูปที่ 49 แสดงการเปรียบเทียบรูปความหยาบของพื้นผิวแบบ 3 มิติ จากเครื่อง profilometer ของ Rodex[®] ก่อนแช่ (ก.) และหลังแช่ (ข.) ในน้ำด่าง